

Diskussion

Autor(en): **Petry, W.**

Objektyp: **Article**

Zeitschrift: **IABSE congress report = Rapport du congrès AIPC = IVBH
Kongressbericht**

Band (Jahr): **1 (1932)**

PDF erstellt am: **13.09.2024**

Persistenter Link: <https://doi.org/10.5169/seals-640>

Nutzungsbedingungen

Die ETH-Bibliothek ist Anbieterin der digitalisierten Zeitschriften. Sie besitzt keine Urheberrechte an den Inhalten der Zeitschriften. Die Rechte liegen in der Regel bei den Herausgebern.

Die auf der Plattform e-periodica veröffentlichten Dokumente stehen für nicht-kommerzielle Zwecke in Lehre und Forschung sowie für die private Nutzung frei zur Verfügung. Einzelne Dateien oder Ausdrucke aus diesem Angebot können zusammen mit diesen Nutzungsbedingungen und den korrekten Herkunftsbezeichnungen weitergegeben werden.

Das Veröffentlichen von Bildern in Print- und Online-Publikationen ist nur mit vorheriger Genehmigung der Rechteinhaber erlaubt. Die systematische Speicherung von Teilen des elektronischen Angebots auf anderen Servern bedarf ebenfalls des schriftlichen Einverständnisses der Rechteinhaber.

Haftungsausschluss

Alle Angaben erfolgen ohne Gewähr für Vollständigkeit oder Richtigkeit. Es wird keine Haftung übernommen für Schäden durch die Verwendung von Informationen aus diesem Online-Angebot oder durch das Fehlen von Informationen. Dies gilt auch für Inhalte Dritter, die über dieses Angebot zugänglich sind.

Pour prévenir de telles déformations retardées, certaines précautions sont à recommander :

- 1) Employer un béton riche en ciment et adopter, pour le béton, des taux de travail faibles ;
- 2) Employer un superciment ;
- 3) La dalle doit rester aussi longtemps que possible dans le coffrage ;
- 4) La dalle doit être chargée aussi tard que possible.

La déformation plastique retardée paraît constituer un phénomène de retrait. Pendant le retrait, de nombreuses fissures microscopiques se manifestent dans le béton et en conséquence des perturbations d'équilibre et des déplacements relatifs des éléments du béton les uns par rapport aux autres. Lorsque la pièce est chargée, ces déplacements doivent produire des compressions permanentes,

La déformation plastique retardée rend inutile la charge préliminaire des armatures travaillant à la compression dans les arcs de ponts, disposition que le Professeur Melan a introduite.

Dr. Ing. W. PETRY,

Geschäftsführendes Vorstands-Mitglied des Deutschen Beton-Vereins, Obercassel-Siegkeis.

Gestatten Sie, dass ich Ihre Aufmerksamkeit auf eine Arbeit von Dr. Ing. Schreyer, Essen «Elastizität und Festigkeit des Betons auf Grund von Würfelversuchen und relativen Spannungen» lenke, von der mir der Verfasser kurz vor meiner Abreise hierher einen Abdruck gesandt hat, und die demnächst in einer deutschen Fachzeitschrift veröffentlicht wird. Es handelt sich um die Auswertung von älteren und neueren Versuchen, die die Grundlagen der Elastizität und Festigkeit des Eisenbetons berühren.

Aus Würfelversuchen mit Beton aus Kiessand verschiedener Zusammensetzung, verschiedenem Zementgehalt und Würfelfestigkeiten zwischen 100 und 300 kg/cm², bei denen die Dehnungen bis zum Bruch gemessen wurden, ergab sich, dass die jungfräuliche Spannungsdehnungslinie für alle untersuchten Betonsorten für ein bestimmtes Verhältnis $\sigma : W$, d. h. für die relative Spannung σ_r nahezu konstant ist, dass also die zu den gleichen relativen Spannungen gehörenden Dehnungen nahezu gleich sind und bleiben. Für die relativen Dehnungen kann eine einzige hyperbolische Kurve angenommen werden. Sie folgt für die Druckelastizität und für die Zugelastizität näherungsweise den in Abb. 1 angegebenen Gleichungen.

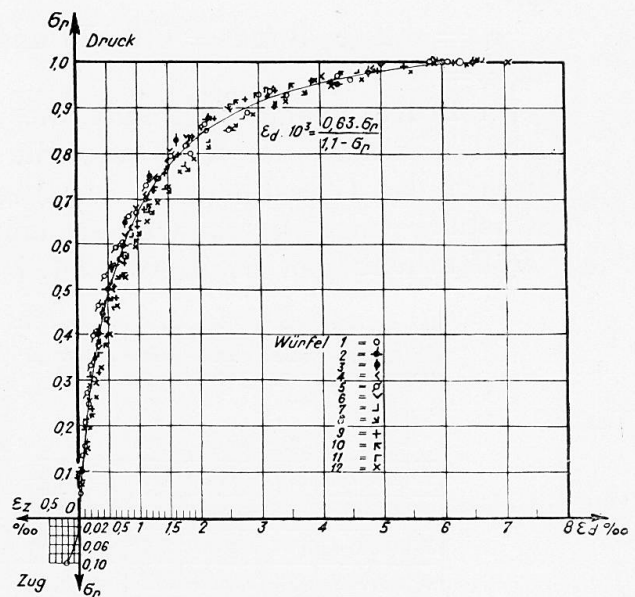


Fig. 1.

Druck = Compression.

Zug = tension.

Würfel = Cube.

Die Brauchbarkeit des hyperbolischen Elastizitätsgesetzes wurde an der Biegedruckfestigkeit nachgeprüft. Bei Biegedruckbeanspruchung kann die Spannungsverteilung in der Druckzone unter der Annahme des Ebenbleibens der Querschnitte und gerissener Zugzone angegeben werden, sobald σ_r für die Betonrandspannung bekannt ist. Das Ergebnis zeigt Fig. 2

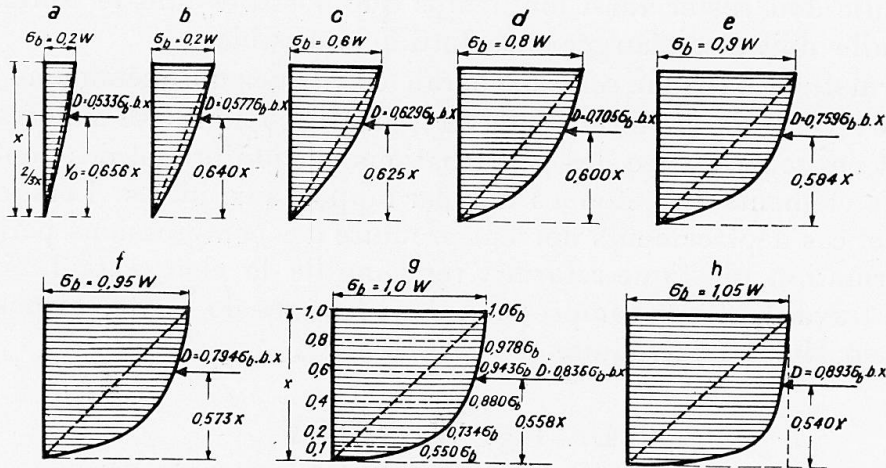


Fig. 2.

aus der die Veränderung des Spannungsdiagramms mit wachsenden σ_r deutlich zu erkennen ist. Die Spannungsverteilung ergibt sich nahezu dreieckförmig für

$\sigma_r = 0,2$ (σ_b Rand = $0,2 W$) und nahezu rechteckig für $\sigma_r = 1,05$.

Im Bruchzustand schwankt die relative Randspannung σ_r zwischen 0,9 und 1,1 je nach der Belastung. Sie ist umso kleiner, auf eine je grössere Strecke das Grösstmoment wirkt und umso grösser, je konzentrierter die Belastung angreift. Es wurden einige Balken aus vorhandenen Versuchsveröffentlichungen nachgerechnet. Das Ergebnis zeigt die Tabelle. Die letzte

Bei- spiel	Balken- abmessung d/b cm	Beweh- rung %	Bruch- moment kg cm	Würfel- festig- keit W kg/cm ²	Belastungs- art	n nach Hyper- bel- gesetz	x in cm		σ_B in kg/cm ² mit		σ_E in kg/cm ² mit		$\sigma_B : W$ mit	
							n	Hyper- bel- gesetz	n	Hyper- bel- gesetz	n	Hyper- bel- gesetz	n	Hyper- bel- gesetz
1	25,4/18,3	7,19	415000	109		79,2	16,67	19,9	161,6	103,2	837	1010	1,48	0,947
2	65/100	1,59	18500000	143		58,6	30,0	39,4	242	134,7	3740	4310	1,69	0,942
3	102/15,4	5,44	120200	220		46,3	6,52	7,4	336	213,7	2165	2530	1,53	0,971
4	83/14,9	7,17	78000	210		80,8	5,42	6,45	352	214,8	1825	2280	1,68	1,023
5	101/15,2	5,58	111700	170		22,3	6,47	8,61	323	181	2040	2775	1,90	1,065

Fig. 3 — Exemple = Beispiel = Example.

Dimensions des poutres = Balkenabmessungen = Beam dimensions.

Armature = Bewehrung = Reinforcement.

Moments de rupture = Bruchmoment = Breaking moment.

Résistance du béton sur le cube = Würfelfestigkeit = Strength of cube.

Mode de mise en charge = Belastungsart = Type of loading.

n, d'après la loi hyperbolique = n nach Hyperbelgesetz = n according to hyperbolic law.

x en cm d'après n = 15; x in cm mit n = 15; x in cm with n = 15.

x en cm d'après la loi hyperbolique = x in cm Hyperbelgesetz = x in cm hyperbolic law.

σ_B en kg/cm² avec n = 15; σ_B in kg/cm² mit n = 15; σ_B in kg/cm² with n = 15.

Spalte beweist, dass der Wert $\sigma_b : W$ bei Berechnung nach dem Hyperbelgesetz zwischen 0,947 und 1,065 schwankt. Bei der üblichen Berechnung mit $n = 15$ schwankt der Wert zwischen 1,48 und 1,90. Wir wissen alle, dass diese Werte nur Rechnungswerte sind und dass sich eben infolge des üblichen Rechnungsverfahrens eine scheinbar grössere Biegedruckfestigkeit im Vergleich zur Würfelfestigkeit ergibt.

Der letzte Teil der Arbeit beschäftigt sich mit dem Wert n und den Sicherheitszahlen im Eisenbetonbau. Es wird klargelegt, dass E_b und n mit wachsender Festigkeit und relativer Spannung veränderlich sind.

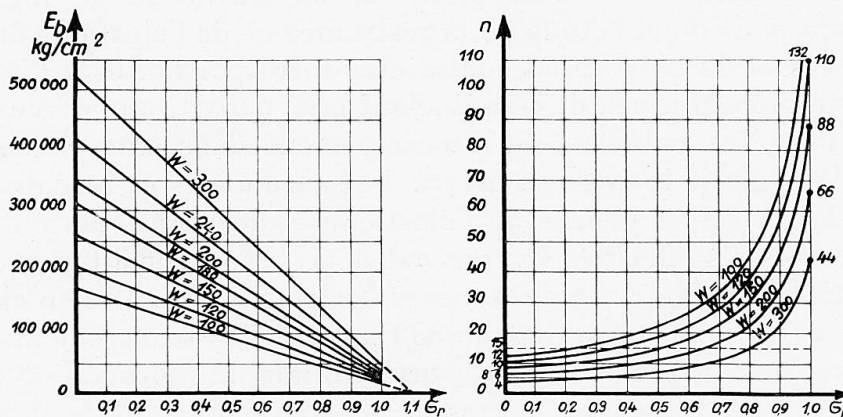


Fig. 4.

Der Wert $n = 15$ entspricht danach für die normalen mageren Betonmischungen mit $W_{b28} = 120 \text{ kg/cm}^2$ keineswegs den Bruchspannungen, sondern nur den Gebrauchsspannungen. Erst für $W_b = 200 \text{ kg/cm}^2$ ergibt sich für die Bruchspannungen beim Ueberwinden der Streckgrenze des Eisens $n = 15$. Den Bruchspannungen des normalen Betons mit normaler Bewehrung kommt der Wert $n = 25$ bis 32 zu.

Der Verfasser hält es für erwünscht, dass die zulässigen Beanspruchungen des Betons und Eisens so gewählt werden, dass die Sicherheiten bei beiden Baustoffen hinsichtlich des als gefährlich anzusehenden Spannungszustandes ungefähr gleich gross werden. Dies bedeutet eine wesentliche Erhöhung der zulässigen Biegedruckspannung.

Bei nachgewiesenem dauernd kontrolliertem hochwertigem Beton und entsprechend hohen zulässigen Beanspruchungen wären die Berechnungen dann allerdings nicht mit $n = 15$, sondern mit dem wirklich vorhandenen Mittelwert von n durchzuführen, der ungünstigere Betonbeanspruchungen ergibt.

Für stetig kontrollierten hochwertigen Beton sollten keine höheren Sicherheiten gefordert werden als für den normalen nicht kontrollierten Beton. Sonst würden der Anwendung hochwertiger Betonsorten unnötige wirtschaftliche Schwierigkeiten bereitet.

Der Verfasser kommt zum Schluss, dass das vorgeschlagene hyperbolische Elastizitätsgesetz mit einer einzigen relativen Dehnungslinie bis zum Bruch für alle praktisch in Frage kommenden Betonfestigkeiten von 100 bis 300 kg/cm^2 brauchbare Ergebnisse sowohl hinsichtlich der Beurteilung der Biegedruck-

festigkeit sowie der Veränderlichkeit und Bedeutung des Wertes n als auch hinsichtlich einer genaueren Erfassung der Sicherheitsverhältnisse liefert.

Da die den Ableitungen des Verfassers zu Grunde gelegten Würfelversuche und Messungen mit den einfachsten Mitteln durchgeführt werden mussten, so bedarf die zahlenmässige Auswertung noch einer Nachprüfung durch Versuchsreihen in gut ausgerüsteten Materialprüfungsanstalten.

Traduction.

Je me permettrai d'attirer l'attention sur un travail du Dr Ing. Schreyer, d'Essen, ayant pour objet l'étude de la résistance et de l'élasticité du béton sur la base des essais du cube et des contraintes correspondantes¹. L'auteur vient en effet de me remettre, peu de temps avant mon départ, une épreuve de cette étude, qui doit être publiée tout prochainement dans une revue technique allemande. Il s'agit de la mise en œuvre d'essais anciens et récents, essais qui intéressent les principes mêmes de l'élasticité et de la résistance du béton.

Il résulte d'essais effectués sur des cubes de béton constitué avec un sable de composition variable, avec des teneurs également variables en ciment, avec des résistances variant entre 100 et 300 kg/cm², les allongements ayant été mesurés jusqu'à la rupture, que la courbe initiale de déformation en fonction de la tension, pour toutes les sortes de béton étudiées et pour un rapport déterminé $\sigma : W$, c'est-à-dire pour la contrainte relative σ_r est presque une droite de sorte que les allongements correspondant aux mêmes contraintes relatives sont presque constants. Pour les allongements relatifs, on peut adopter une courbe d'allure hyperbolique unique. Cette courbe suit approximativement, pour l'élasticité à la compression et pour l'élasticité à la traction, les équations indiquées sur la figure 1.

Les possibilités qu'offre la loi hyperbolique d'élasticité ont été contrôlées par la résistance à la compression en flexion. Sous l'influence d'une contrainte de compression à la flexion, on peut déterminer la répartition des contraintes dans la zone comprimée, en se basant sur l'hypothèse de la constance de la section et dans la zone fissurée correspondant à la traction à condition de connaître σ_r pour la contrainte périphérique dans le béton. Le résultat obtenu est représenté par la figure 2, qui met nettement en évidence la variation du diagramme de tension lorsque σ_r croît. La répartition des contraintes est sensiblement triangulaire pour $\sigma_r = 0,2$ (σ_b à la périphérie = $0,2 W$) et sensiblement rectangulaire pour $\sigma_r = 1,05$.

A la rupture, la contrainte périphérique relative σ_r oscille entre 0,9 et 1,1 suivant la charge. Elle est d'autant plus faible que le moment maximum intéresse une distance plus grande et d'autant plus grande que la charge est plus concentrée. Les calculs ont été effectués pour quelques poutres dont les résultats d'essais ont été publiés. Les résultats obtenus sont indiqués sur le tableau de la figure 3. La dernière colonne montre que la valeur de $\sigma_b : W$, dans le calcul d'après la loi hyperbolique, varie entre 0,947 et 1,065. Dans le calcul

1. Dr. Ing. SCHREYER, Elastizität und Festigkeit des Betons auf Grund von Würfelversuchen und relativen Spannungen.